

УДК 530.182,51-73

## АНАЛИЗ СТРУКТУРЫ СЛОЖНОЙ СЕТИ НА ОСНОВЕ ЕЕ МАКРОСКОПИЧЕСКИХ ХАРАКТЕРИСТИК

© 2014 г. В. А. Максименко<sup>1,2</sup>, В. В. Макаров<sup>1,2</sup>, А. А. Короновский<sup>1,2</sup>,  
А. Е. Храмов<sup>1,2</sup>, О. И. Москаленко<sup>1,2</sup>

*E-mail: maximenkovl@gmail.com, vladmak404@gmail.com*

Предложен метод анализа структурных изменений и процессов кластеризации в сложных сетях при помощи рассмотрения макроскопических характеристик (суммарного вектора состояния системы), основанный на непрерывном вейвлетном преобразовании. Показано, что с помощью предложенного метода возможна эффективная диагностика изменений топологии сети и обнаружение структурных кластеров.

DOI: 10.7868/S0367676514120217

### ВВЕДЕНИЕ

Исследование синхронных режимов и процессов образования структур в сетях со сложной топологией является в данный момент одной из наиболее важных задач, стоящих перед мировым научным сообществом. Современные научные представления о мире все более сходятся к концепции его сетевой архитектуры [1]. Различные сетевые структуры возникают на всех уровнях организации биологических [2], технологических [3] и социальных систем [4, 5], от нейронных ансамблей [6, 7] до сетей городов и популяций [8].

Наличие большого количества элементов, входящих в сети, а также неравномерно распределенных между ними входящих и исходящих связей обуславливает целый ряд различных явлений коллективной динамики составных частей сетевой структуры, включая образование подсетей (кластеров) [9], состоящих из сильно связанных элементов, и возникновение синхронных режимов [10].

Синхронизация представляет собой одно из важнейших явлений, наблюдающихся в сложных сетях. В частности, в адаптивных сетях [11] наличие синхронизма в поведении взаимодействующих элементов обычно является главным фактором, обуславливающим временную эволюцию топологии сети.

Модели сетевых структур, включающие в себя адаптивные механизмы, в последнее время все чаще применяются для описания процессов, протекающих в социальных системах и нейронных ансамблях [12, 13]. Описание эволюции топологии таких сетей позволяет разрабатывать математические интерпретации, наиболее приближенные к реальным сетям, в которых изменение связей во времени приводит к образованию различных структурных паттернов.

Однако следует отметить, что изучение реальных адаптивных сетей посредством построения математических моделей не всегда оказывается эффективным. Основная проблема анализа большинства систем с сетевой структурой – отсутствие необходимой информации о топологии, природе связей и динамическом состоянии отдельных элементов и образовавшихся подсетей. В данном случае построение модели, корректно учитывающей связи между взаимодействующими элементами и их изменение во времени, не представляется возможным, и, как правило, приходится работать с макроскопическими параметрами, характеризующими процессы, протекающие в сети. В качестве таких параметров, например, могут выступать суммарные сигналы электрической активности головного мозга, полученные посредством электроэнцефалографии и являющиеся продуктом взаимодействия отдельных нейронов многочисленного нейронного ансамбля. Подобные макроскопические параметры сети обладают нестационарными во времени характеристиками, и ожидается, что закономерности их эволюционной динамики могут быть сопоставлены с конкретными процессами формирования структуры сети на микроскопическом уровне, что, в свою очередь, позволит проводить анализ реаль-

<sup>1</sup> Федеральное государственное бюджетное образовательное учреждение высшего профессионального образования “Саратовский государственный университет имени Н.Г. Чернышевского”.

<sup>2</sup> Федеральное государственное бюджетное образовательное учреждение высшего профессионального образования “Саратовский государственный технический университет имени Ю.А. Гагарина”.

ных сложных сетей на основе экспериментальных макроскопических характеристик.

Изучение данной возможности представляет большой интерес для различных областей науки, имеющих дело с исследованиями сложных сетевых структур. Получение информации о топологии сети и образовавшихся в ней синхронных режимов коллективной динамики при помощи рассмотрения макроскопических характеристик позволит продвинуться в понимании структурных особенностей и функционирования реальных сетей различной природы, которые проблематично исследовать известными методами анализа.

В настоящей работе проведено исследование коллективной динамики элементов сети на основе сети взаимодействующих фазовых осцилляторов Курамото [14, 15], топология которой меняется во времени согласно адаптивному механизму [11]. При этом основное внимание уделено анализу структуры данной сети и изучению процессов кластеризации при помощи рассмотрения макроскопической характеристики, которая в данном случае представлена суммарным сигналом взаимодействующих осцилляторов.

В работе приведено сопоставление полученных результатов макроскопического анализа с характеристиками, рассчитанными с использованием матриц связи исследуемой сети и векторов состояния отдельных элементов. При этом обнаружена связь между рассмотренным суммарным сигналом и микроскопическими параметрами, характеризующими топологию исследуемой сети.

## ИССЛЕДУЕМАЯ СИСТЕМА И МАТЕМАТИЧЕСКАЯ МОДЕЛЬ

Одна из наиболее распространенных сетевых моделей – модель фазовых осцилляторов Курамото, предложенная в 1975 г. [16] в качестве математической интерпретации коллективной динамики химических и биологических осцилляторов. В последнее время различные модификации данной модели сети фазовых осцилляторов активно применяют для анализа процессов кластеризации и синхронизации, в том числе и в социальных системах [11].

В настоящем исследовании используется модифицированная модель Курамото, предложенная в работе [11], состоящая из  $N = 200$  связанных осцилляторов. Каждый  $i$ -тый узел рассматриваемой сети характеризуется фазой  $\varphi_i$  и взаимодействует со всеми остальными  $N - 1$  узла-

ми. Динамика каждого осциллятора описывается уравнением

$$\dot{\varphi}_i = \omega_i + \lambda \sum_j^N w_{ij} \sin(\varphi_j - \varphi_i), \quad (1)$$

где  $\omega_i$  – заданные случайным образом натуральные частоты в диапазоне  $[1, 10]$ ,  $w_{ij}$  – вес связи, соединяющей узлы  $j$  и  $i$ , и  $\lambda$  – сила связи. Изначально фазы взаимодействующих элементов заданы случайно и распределены равномерно на отрезке  $[-\pi, \pi]$ , при этом веса связей также заданы случайно. После переходного процесса в момент времени  $t^* = 500$  происходит включение адаптационного механизма [11], в результате которого изменяется динамика сети. Результаты исследования подобных сетей с нестационарными связями свидетельствуют о том, что наличие адаптации является основной причиной, обуславливающей изменение топологии сети и образование в ней структурных кластеров [11], что делает такие сети наиболее интересными для анализа процессов возникновения структур.

В качестве макроскопического параметра, характеризующего динамику взаимодействующих осцилляторов (1), рассмотрим суммарный сигнал, порожденный исследуемой сетью

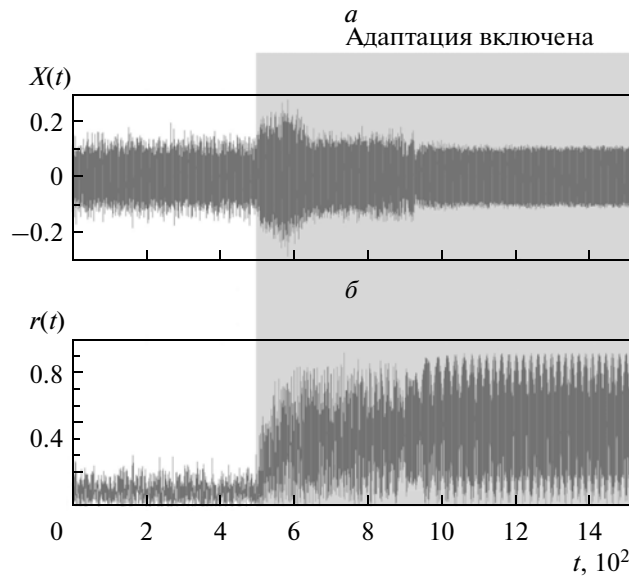
$$X(t) = \sum_{i=1}^N x_i(t), \quad (2)$$

где  $N = 200$  – количество элементов, динамика каждого из которых во времени описывается законом  $x_i(t) = A \cos(\varphi_i(t))$ , где  $A$  – единичная амплитуда.

На рис. 1а, показана зависимость состояния  $X(t)$  системы (2) от времени. Как отмечено выше, адаптационный механизм в сети включается при  $t^* = 500$  (область адаптивной динамики выделена серым цветом). Реализация (2) имеет вид хаотического сигнала. Видно, что после включения адаптации следует сложный переходный процесс, связанный, очевидно, с эволюцией топологии сети, который приводит к качественному изменению режима колебаний. На рис. 1б приведена временная зависимость величины  $r(t)$ , отражающей упорядоченность системы и являющейся степенью когерентности осцилляторов:

$$r(t) = \frac{1}{N} \sum_{i=1}^N e^{i\varphi_i(t)}. \quad (3)$$

Легко заметить, что параметр порядка  $r(t)$  резко возрастает при включении адаптационного механизма (рис. 1б), что свидетельствует о возникновении синхронных сильносвязанных структур [11].



**Рис. 1.** *a* – суммарный вектор состояния элементов сети в зависимости от времени; *b* – параметр порядка ( $r(t)$ ) в зависимости от времени. Количество элементов  $N = 200$ .

При этом следует отметить, что параметр  $r(t)$  может быть рассчитан только с использованием локальных характеристик всех элементов сети (векторов состояния каждого элемента). Однако его временная эволюция дает нам только общее представление о динамике системы во время эволюции ее топологии и не позволяет судить о количестве и характеристиках образовавшихся в ней структур.

### ПРИМЕНЕНИЕ МЕТОДА

Как было упомянуто выше, при анализе динамики реальных сетей в большинстве случаев известна динамика только макроскопических параметров системы. В качестве таких параметров могут выступать суммарные сигналы, образованные взаимодействующими элементами как всей рассматриваемой сети, так и отдельными группами элементов, входящих в ее состав. Очевидно, что изменения в топологии сети приводят к изменениям характеристик указанных суммарных сигналов, что дает возможность использовать их для исследования динамики структуры сети и режимов синхронизации, наблюдающихся в ней.

Для анализа сложных сигналов с изменяющимся во времени спектральным составом наиболее эффективно применяется аппарат непрерывного вейвлетного преобразования. Данный метод обеспечивает наилучшее разрешение по времени и частоте и позволяет изучать временную эволюцию спектрального состава исследуе-

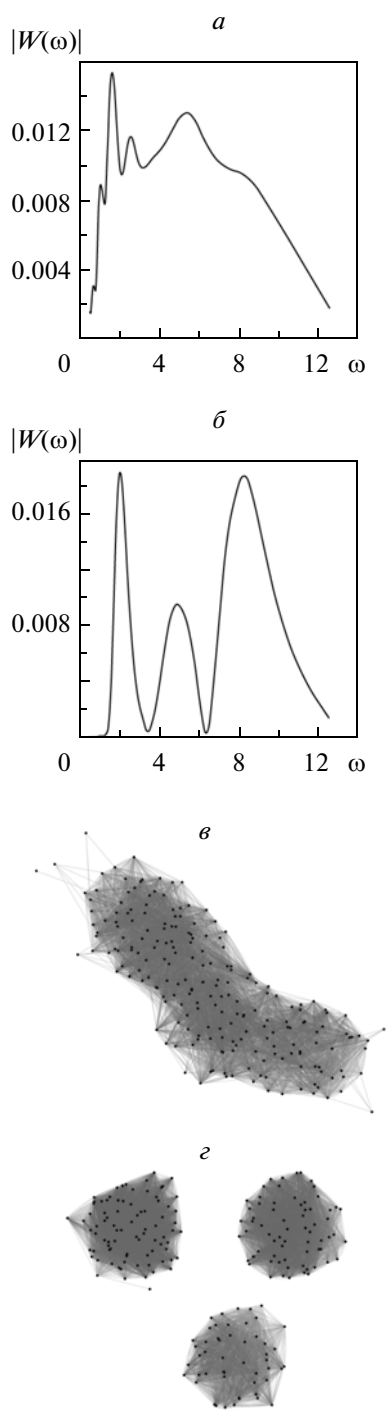
мого сигнала. В настоящей работе анализ сигнала (2), соответствующего макроскопической характеристике сети осцилляторов Курамото, проводится при помощи вейвлетного преобразования, которое имеет вид

$$w(\omega, t) = \sqrt{\omega} \int_{t - \frac{4}{\omega}}^{t + \frac{4}{\omega}} X(t') \psi^*(\omega(t - t')) dt', \quad (4)$$

где  $\omega$  соответствует частотам, по которым происходит разложение анализируемого сигнала,  $\psi^*(t - t')$  – материнский вейвлет, символ (\*) обозначает комплексное сопряжение. В качестве материнской функции используется вейвлет Морле.

На рис. 2*a*, 2*b* показан результат применения преобразования (4) для сигнала, приведенного на рис. 1*a*. Также на рис. 2*в*, 2*г* представлены визуализации структуры исследуемой сети, построенные с использованием матриц связей ее элементов.

Рис. 2*a* отражает распределение амплитуды вейвлетного преобразования по частотам до включения адаптации ( $t_1 = 490$ ). В данном случае связи между элементами заданы случайным образом и не меняются со временем. Хорошо видно, что энергия распределена по частотам достаточно равномерно. В то же время обособленные спектральные компоненты все же присутствуют, что соответствует наличию групп элементов, синхронизованных между собой. Однако следует отметить, что отсутствие эволюции связей не дает эле-



**Рис. 2.** Амплитудные вейвлетные спектры суммарного вектора состояния элементов (*a, б*) и визуализации (*в, з*) исследуемой сети, соответствующие моментам времени  $t = 500$  (*a, в*),  $t = 1300$  (*б, з*).

ментам образовать синхронные обособленные кластеры. Данное состояние системы проиллюстрировано на рис. 2*в*, где показана визуализация топологии сети в момент  $t_1 = 490$ .

В момент времени  $t_2 = 1300$ , соответствующий режиму, установившемуся в системе после переходного процесса адаптации (что хорошо видно на рис. 1*б*), на распределении амплитуды вейвлетного преобразования от частоты (рис. 2*б*) возникают три отдельных пика, каждый из которых соответствует синхронному кластеру, образовавшемуся в сети. На рис. 2*в* представлена структура сети в данный момент времени. Хорошо видно, что элементы сгруппированы в три обособленных структурных кластера.

Следует отметить, что пики вейвлетного спектра (рис. 2*б*) имеют разную мощность, что связано с разным количеством элементов, входящих в состав синхронных кластеров (рис. 2*з*).

Таким образом, показана возможность анализа структурных изменений в сети и обнаружения возникающих кластеров при помощи вейвлетного преобразования суммарного сигнала, полученного со всех ее элементов.

## ЗАКЛЮЧЕНИЕ

Проведен анализ структуры сети фазовых осцилляторов Курамото при помощи вейвлетного анализа суммарного вектора состояния, получаемого с узлов данной сети. Результаты применения метода полностью характеризуют топологию сети в различные моменты времени, что подтверждено сопоставлением результатов анализа с визуализациями топологии сети, построенными по матрицам связей ее элементов.

Таким образом, показана возможность получения информации о возникших в сети структурных кластерах при помощи соответствующего анализа макроскопических характеристик рассматриваемого ансамбля взаимодействующих элементов. Полученные результаты могут найти широкое применение в исследованиях, посвященных анализу электроэнцефалограмм (ЭЭГ) и магнитоэнцефалограмм (МЭГ) с целью детектирования режимов синхронизации нейронных ансамблей и выявления различных форм когнитивной активности.

Работа выполнена при поддержке Российского научного фонда (проект № 14-12-00224). Владимир Максименко благодарит также Фонд “Династия” за стипендию, направленную на поддержку его научной деятельности.

## СПИСОК ЛИТЕРАТУРЫ

1. Holme P. // Phys. Rev. E. 2005. V. 71. № 4. 046119.
2. Valencia M., Pastor M.A., Fernandez-Seara V.A. // Phys. Rev. E. 2008. V. 77. № 5. 050905.

3. *Onnela J.P., Saramäki J., Hyvönen J. et al.* // Proc. Nat. Acad. Sci. USA. 2007. V. 104. P. 7332.
4. *Stehlé J., Voirin N., Barrat A. et al.* // Phys. Rev. E. 2010. V. 81. № 3. 035101.
5. *McPherson M., Smith-Lovin L., MCOok J.* // Ann. Rev. Sociol. 2001. V. 27. P. 415.
6. *Ulhaas P.J.* // Frontiers Neurosc. 2009. V. 3. P. 17.
7. *Van Ooyen A.* // Computation in Neural Systems. 2001. V. 12. P. R1.
8. *Tang J., Scellato S., Musolesi M., Mascolo C., Latora V.* // Phys. Rev. E. 2010. V. 81. 055101.
9. *Boccaletti S., Ivanchenko M., Latora V.* // Phys. Rev. E. 2007. V. 75. № 4. 045102.
10. *Aoki T., Aoyagi T.* // Phys. Rev. Lett. 2009. V. 102. 034101.
11. *Assenza S., Gutierrez R., Gomez-Gardenes J. et al.* // Sci. Rep. 2013. V. 1. № 99. P. 1.
12. *Arenas A., Díaz-Guilera A., Pérez-Vicente C. J.* // Phys. Rev. Lett. 2006. V. 96. № 11. P. 114102.
13. *Bullmore E., Sporns O.* // Nat. Rev. Neurosci. 2009. V. 10. P. 186.
14. *Moreno Y., Pacheco A.F.* // Europhys. Lett. 2004. V. 68. № 4. P. 603.
15. *Kuramoto Y., Araki H.* // Lecture Notes in Physics. International Symposium on Mathematical Problems in Theoretical Physics 39. N. Y.: Springer-Verlag, 1975. P. 420.
16. *Fujiwara N., Kurths J., Díaz-Guilera* // Phys. Rev. E. 2011. V. 83. 025101.